

Cosmología. PCF Semestre 2024-1
Tarea Unidad 5
fecha de entrega: 6 de noviembre 2023

1. De la ecuación de Boltzmann

$$\mathcal{B} = \frac{df}{d\tau}(\mathbf{x}, \mathbf{p}, \tau) = \frac{\partial f}{\partial \tau} + \frac{\mathbf{p}}{ma} \cdot \frac{\partial f}{\partial \mathbf{x}} - ma \nabla \Phi \cdot \frac{\partial f}{\partial \mathbf{p}} = 0 \quad (1)$$

toma el segundo momento $(ma^5)^{-1} \int d^3p p^i p^j \mathcal{B} = 0$, y usa los primeros momentos de la función de distribución

$$\rho(\mathbf{x}, \tau) = \frac{m}{a^3} \int d^3p f(\mathbf{x}, \mathbf{p}, \tau), \quad (2)$$

$$\rho v^i(\mathbf{x}, \tau) \equiv \rho \langle u^i \rangle_p = \frac{1}{am} \rho \langle p^i \rangle_p = \frac{1}{a^4} \int d^3p p^i f(\mathbf{x}, \mathbf{p}, \tau) \quad (3)$$

$$\rho \langle u^i u^j \rangle_p = \frac{\rho \langle p^i p^j \rangle_p}{m^2 a^2} = \frac{1}{ma^5} \int d^3p p^i p^j f = \rho (v^i v^j + \sigma^{ij}) \quad (4)$$

$$\sigma^{ijk} \equiv \langle \Delta u^i \Delta u^j \Delta u^k \rangle_p = -\langle u^i u^j u^k \rangle_p + v^i \sigma^{jk} + v^j \sigma^{ik} + v^k \sigma^{ij}, \quad (5)$$

para obtener la ecuación de evolución del tensor de dispersión de velocidades:

$$\partial_\tau \sigma^{ij} + 2\mathcal{H} \sigma^{ij} + v^k \partial_k \sigma^{ij} + \sigma^{ik} \partial_k v^j + \sigma^{jk} \partial_k v^i = \frac{1}{\rho} \partial_k (\rho \sigma^{ijk}). \quad (6)$$

2. La “velocidad” θ y la sobredensidad δ a orden n en teoría estándar de perturbaciones son escritas como convoluciones de n sobredensidades lineales pesadas con kernels F_n y G_n de la siguiente manera

$$\delta^{(n)}(\mathbf{k}) = \int_{\mathbf{k}_1 \dots \mathbf{k}_n = \mathbf{k}} F_n(\mathbf{k}_1, \dots, \mathbf{k}_n) \delta^{(1)}(\mathbf{k}_1) \dots \delta^{(1)}(\mathbf{k}_n) \quad (7)$$

$$\theta^{(n)}(\mathbf{k}) = \int_{\mathbf{k}_1 \dots \mathbf{k}_n = \mathbf{k}} G_n(\mathbf{k}_1, \dots, \mathbf{k}_n) \delta^{(1)}(\mathbf{k}_1) \dots \delta^{(1)}(\mathbf{k}_n) \quad (8)$$

Recuerda que

$$\int_{\mathbf{k}_1 \dots \mathbf{k}_n = \mathbf{k}} = \int \frac{d^3k_1 \dots d^3k_n}{(2\pi)^{3n}} \delta_D(\mathbf{k} - \mathbf{k}_{1\dots n}), \quad \mathbf{k}_{1\dots n} = \mathbf{k}_1 + \mathbf{k}_2 + \dots + \mathbf{k}_n. \quad (9)$$

Demuestra que

$$\begin{aligned} & \int_{\mathbf{k}_{12} = \mathbf{k}} \alpha(\mathbf{k}_1, \mathbf{k}_2) \theta^{(m)}(\mathbf{k}_1) \delta^{(n-m)}(\mathbf{k}_2) \\ &= \int_{\mathbf{k}_1 \dots \mathbf{k}_n = \mathbf{k}} \alpha(\mathbf{k}_{1\dots m}, \mathbf{k}_{m+1\dots n}) G_m(\mathbf{k}_1, \dots, \mathbf{k}_m) F_{n-m}(\mathbf{k}_{m+1}, \dots, \mathbf{k}_n) \delta^{(1)}(\mathbf{k}_1) \dots \delta^{(1)}(\mathbf{k}_n). \end{aligned} \quad (10)$$

3. Definimos el desplazamiento Lagrangiano a primer orden como $\Psi_i^{(1)}(\mathbf{x}) = -\nabla^{-2} \partial_i \delta^{(1)}(\mathbf{x})$, donde δ es la sobredensidad de perturbaciones de materia. Muestra que en espacio de Fourier uno obtiene

$$\Psi_i^{(1)}(\mathbf{k}) = i \frac{k_i}{k^2} \delta^{(1)}(\mathbf{k}).$$

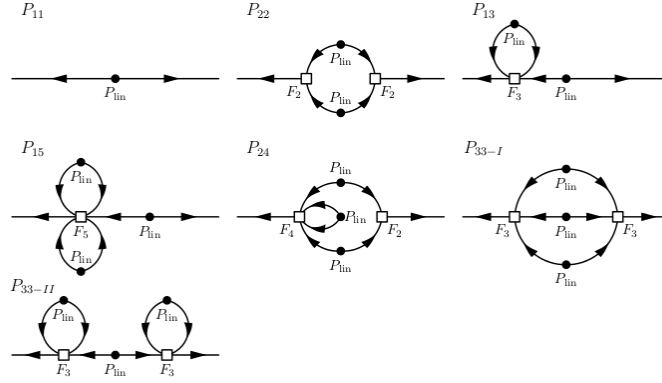


FIG. 1. Diagrams for the tree level, one- and two-loop expressions of the SPT power spectrum.

Muestra que la varianza de desplazamientos Lagrangianos en 1-dimensión es

$$\sigma_{\Psi}^2(t) \equiv \frac{1}{3} \langle \Psi^{(1)}(\mathbf{x}, t) \Psi^{(1)}(\mathbf{x}, t) \rangle = \frac{1}{6\pi^2} \int dp P_L(p, t).$$

σ_{Ψ} es aproximadamente la distancia promedio que las partículas de materia oscura son dispersadas desde un tiempo muy temprano hasta un tiempo t . Calcula $\sigma_{\Psi}(z)$ a distintos corrimientos al rojo: $z = 100, 5, 1$ y 0 , y para dos cosmologías, una con $\Omega_m = 0.3$ y otra en la que no hay energía oscura $\Omega_m \simeq 1$. Los demás parámetros cosmológicos déjalos igual para ambas cosmologías.

4. En la figura 1 se muestran los diagramas para las contribuciones a 1-loop y 2-loops al espectro de potencias. Recuerda que P_{15}^{diagrama} corresponde a $P^{(15)}$ en la notación del curso (en el curso usamos $P_{15} = P_{15}^{\text{diagrama}} + P_{51}^{\text{diagrama}}$).

Siguiendo los diagramas muestra que las correcciones a 2-loops están dadas por las siguientes integrales

$$\begin{aligned} P^{(15)}(k) &= 15 \int \frac{d^3p}{(2\pi)^3} \frac{d^3q}{(2\pi)^3} F_5(\mathbf{k}, \mathbf{p}, -\mathbf{p}, \mathbf{q}, -\mathbf{q}) P_L(k) P_L(q) P_L(p), \\ P^{(42)}(k) &= 12 \int \frac{d^3p}{(2\pi)^3} \frac{d^3q}{(2\pi)^3} F_4(\mathbf{q}, -\mathbf{q}, \mathbf{k} - \mathbf{p}, \mathbf{p}) F_2(\mathbf{k} - \mathbf{p}, \mathbf{p}) P_L(p) P_L(q) P_L(|\mathbf{k} - \mathbf{p}|), \\ P^{(33)I}(k) &= 6 \int \frac{d^3p d^3q}{(2\pi)^6} [F_3(\mathbf{k} - \mathbf{p} - \mathbf{q}, \mathbf{q}, \mathbf{p})]^2 P_L(p) P_L(q) P_L(|\mathbf{k} - \mathbf{p} - \mathbf{q}|), \\ P^{(33)II}(k) &= 9 \int \frac{d^3p d^3q}{(2\pi)^6} F_3(\mathbf{k}, -\mathbf{p}, \mathbf{p}) F_3(\mathbf{k}, -\mathbf{q}, \mathbf{q}) P_L(p) P_L(q) P_L(k). \end{aligned}$$

5. El biespectro de potencias está dado por

$$(2\pi)^3 \delta_D(\mathbf{k}_1 + \mathbf{k}_2 + \mathbf{k}_3) B(\mathbf{k}_1, \mathbf{k}_2, \mathbf{k}_3) = \langle \delta(\mathbf{k}_1) \delta(\mathbf{k}_2) \delta(\mathbf{k}_3) \rangle$$

I. Asumiendo gaussianidad primordial, muestra que a orden más bajo posible en teoría de perturbaciones uno obtiene

$$B(\mathbf{k}_1, \mathbf{k}_2, \mathbf{k}_3) = 2F_2(\mathbf{k}_1, \mathbf{k}_2) P_L(k_1) P_L(k_2) + 2F_2(\mathbf{k}_2, \mathbf{k}_3) P_L(k_2) P_L(k_3) + 2F_2(\mathbf{k}_3, \mathbf{k}_1) P_L(k_3) P_L(k_1).$$

II. Demuestra que si asumes isotropía e inhomogeneidad, el biespectro sólo depende de tres números. Estos pueden ser los valores absolutos de los tres vectores de onda k_1 , k_2 y k_3 , por lo que $B(\mathbf{k}_1, \mathbf{k}_2, \mathbf{k}_3) = B(k_1, k_2, k_3)$. (Nota que los vectores de onda forman un triángulo debido a que homogeneidad introduce la delta de Dirac en la definición de B .)

III. Grafica el biespectro como función de un sólo número de onda, para una configuración equilatera, es decir cuando la longitud de los tres valores son iguales $B(k, k, k)$. también grafica la razón $B/P_L^2(k)$. Muestra de manera analítica que

$$\frac{B(k, k, k)}{[P_L(k)]^2} = \frac{12}{7}$$

y con esto verifica los resultados numéricos que obtuviste.

